

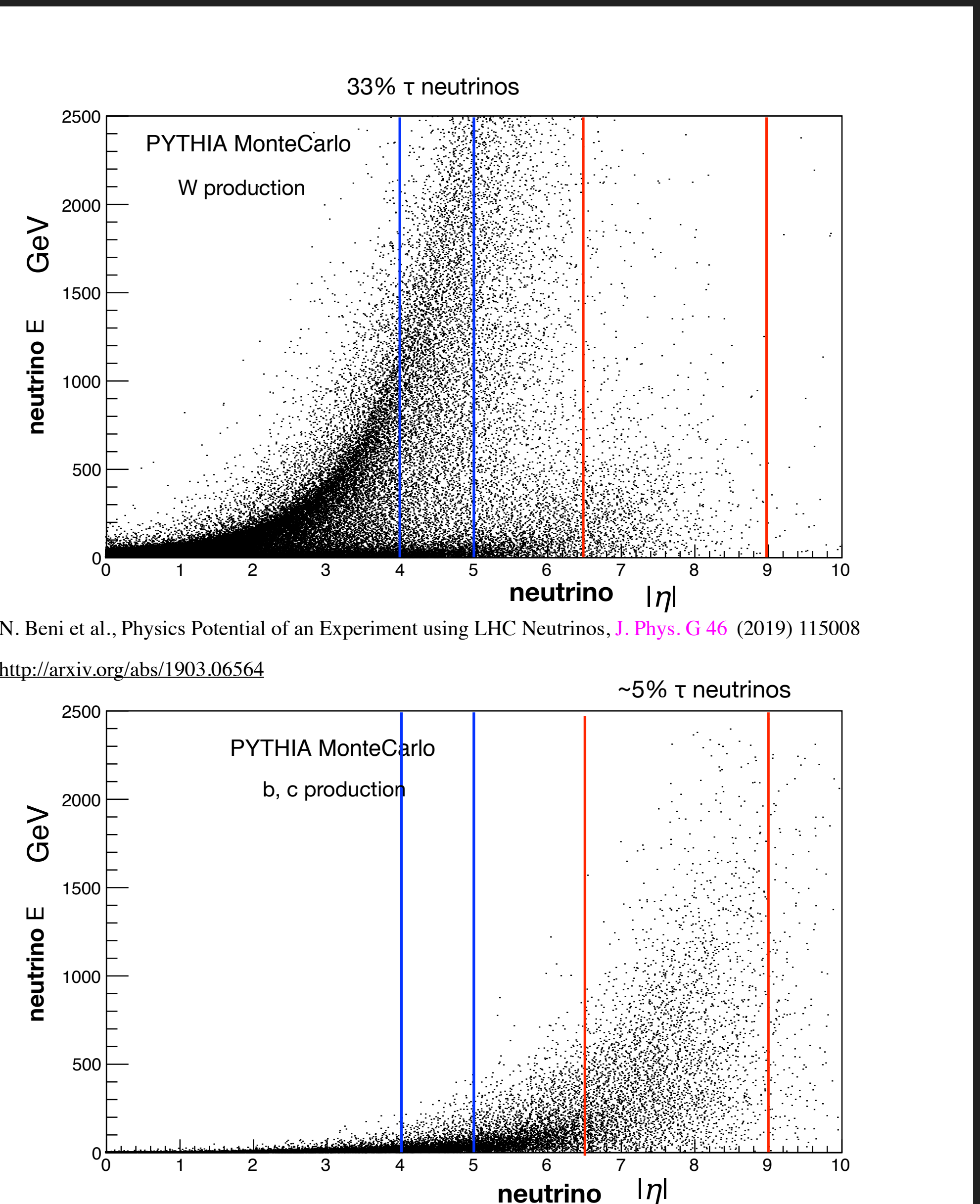
Scattering_and_Neutrino Detector@LHC:
neutrini da LHC

Assemblea di sezione, Bologna, 4 Feb 2021

Marco Dallavalle

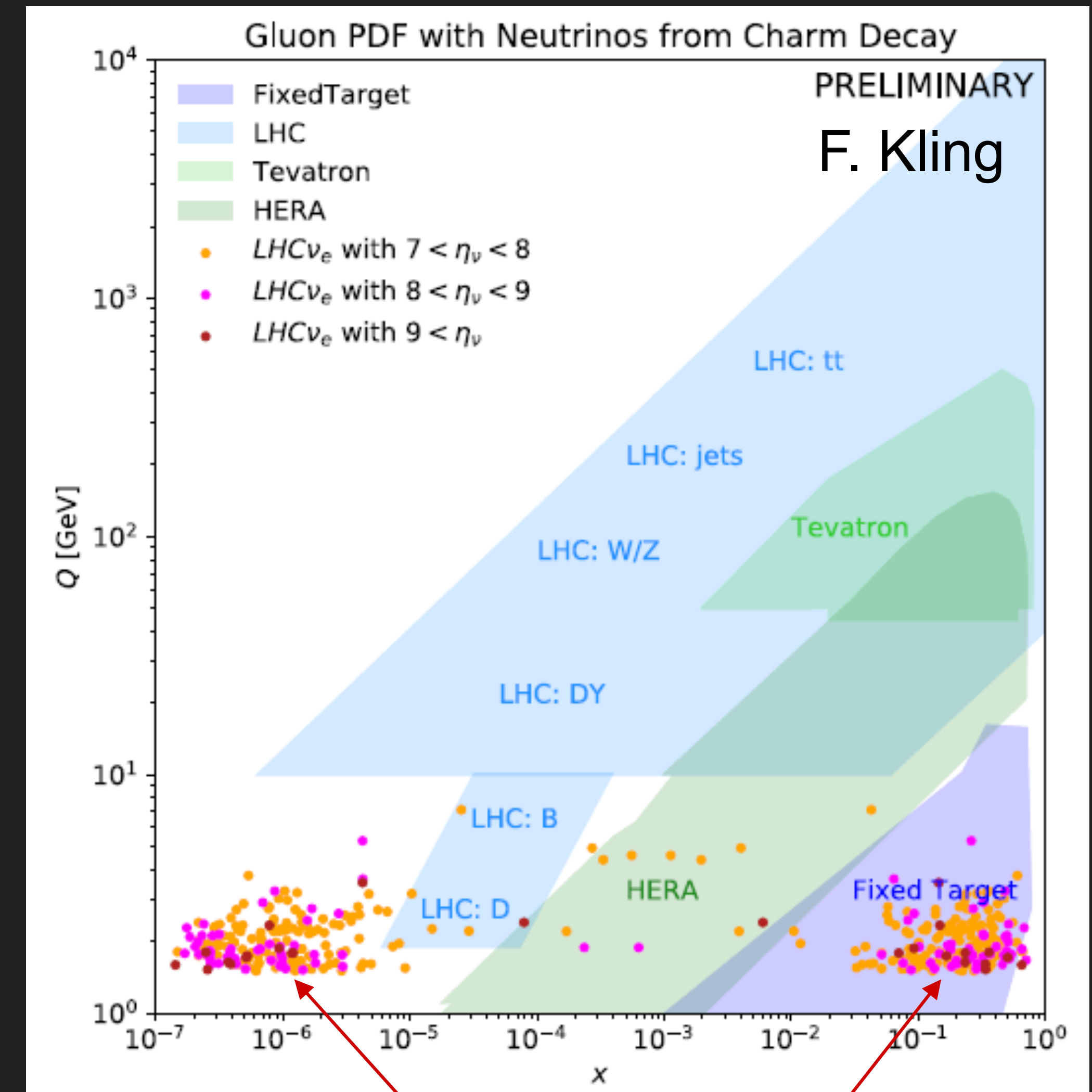
neutrini da LHC

- l'uso di LHC come sorgente di neutrini è uno sviluppo recente. Due esperimenti (SND@LHC e FASER ν) nel 2022-2024 puntano alla prima osservazione diretta.
- dai decadimenti di bosoni W, Z , e di quark pesanti prodotti nelle interazioni pp profonde nascono neutrini dei tre saperi e, μ, τ ; neutrini muonici anche dai decadimenti di π, K
- energia $\sim 100\text{-}4000\text{ GeV}$ e intensità dei neutrini variano con l'angolo di diffusione ($n = -\ln \tan \theta/2 \rightarrow \eta = 4.5^\circ = 22\text{mrad} = 1.3^\circ$ $\eta = 8^\circ = 0.7\text{mrad} = 0.04^\circ$)



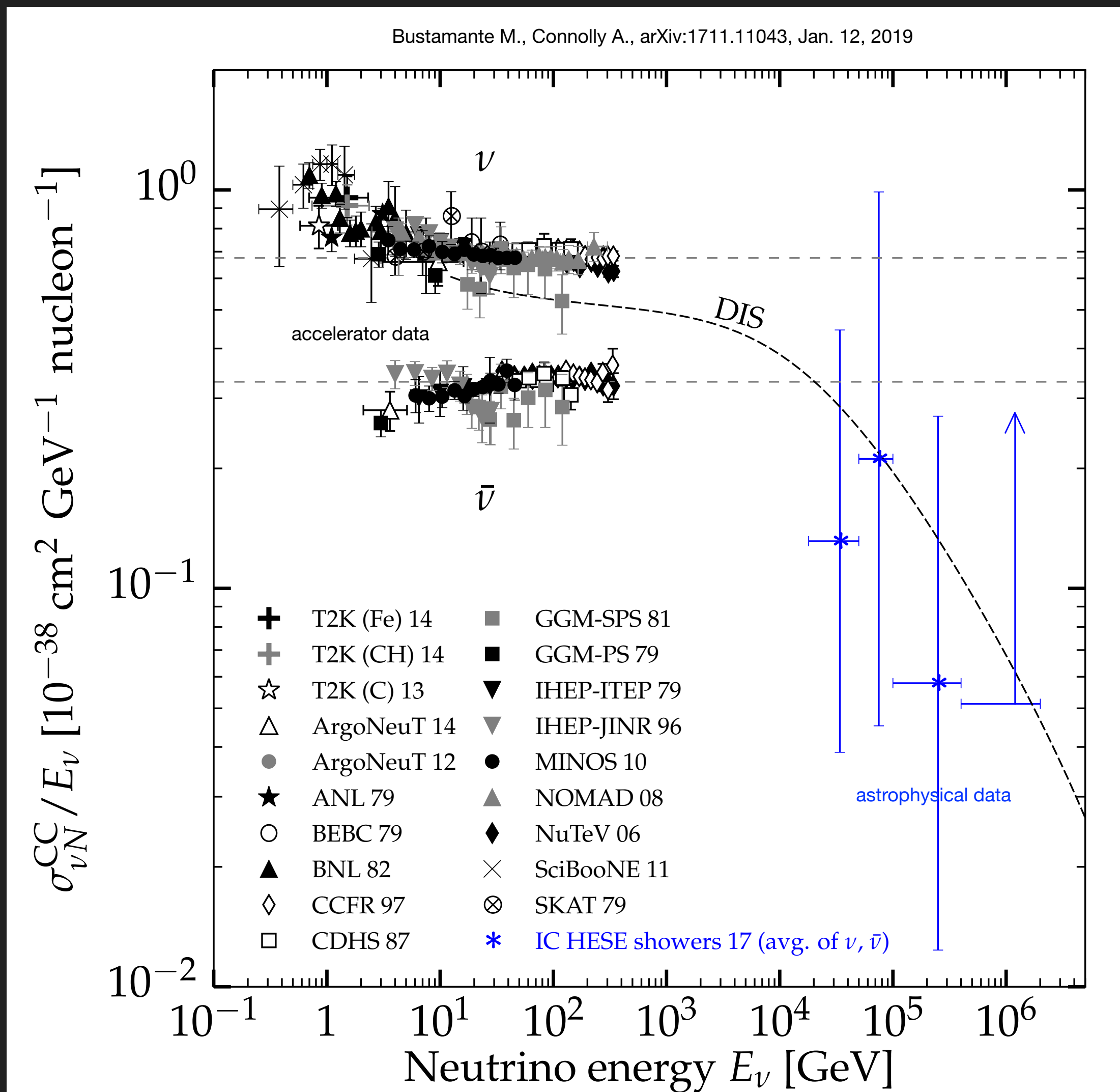
fisica coi neutrini a LHC (1)

- SND@LHC osserverà neutrini in $7.2 < \eta < 8.6$
- il principale ($>90\%$) processo di produzione è il decadimento dei quark charm generati da $gg \rightarrow c \bar{c}$
- la reazione ha un grande boost in avanti: un gluone ha $\langle x_1 \rangle \sim 0.2$, e il secondo ha x_2 tra 10^{-7} e 10^{-5} , terra incognita $\langle Q^2 \rangle \sim 4 \text{ GeV}^2$
- la PDF del gluone a piccolo x ha grande incertezza, un problema aperto per le predizioni di QCD. SND@LHC può stimarla dal flusso di neutrini



fisica coi neutrini a LHC (2)

- la sezione d'urto di interazione νN ($N=p,n$) è misurata in laboratorio per $E_\nu < 350$ GeV ;
 - molte misure per ν_μ , qualcuna ν_e ;
 - 14 interazioni di ν_τ osservate ;
 - N.B.: $\sigma(1000\text{GeV})/\sigma(10\text{GeV}) \sim 100 \rightarrow$ detector può essere piccolo in massa e dimensioni
- da sorgenti di astrofisica misure per $E_\nu > 6000$ GeV, incertezza molto grande
- LHC può coprire il gap 350-6000 GeV
- LHC può produrre un campione consistente di ν_τ , di alta energia



la Collaborazione SND@LHC (1)

- Nata dalla fusione di XSEN e SND(SHiP)
- XSEN aveva misurato i fondi macchina di LHC, stimato i flussi di neutrini e dimostrato la fattibilità di un esperimento per neutrini
- SND aveva sviluppato un rivelatore avanzato per l'osservazione di neutrini in SHiP
- LoI a Agosto 2019; approvazione di LHCC
- Technical Proposal sottomesso a Gennaio; in valutazione da LHCC; approvazione possibile per Marzo

January 15, 2021

1 TECHNICAL PROPOSAL

2 SND@LHC

3 Scattering and Neutrino Detector at 4 the LHC

5 SND@LHC Collaboration

6 Abstract

7 8 SND@LHC is a proposed, compact and stand-alone experiment to perform measurements with
9 neutrinos produced at the LHC in an hitherto unexplored pseudo-rapidity region of $7.2 < \eta <$
10 8.6, complementary to all the other experiments at the LHC. The experiment is to be located
11 480 m downstream of IP1 in the unused TI18 tunnel. The first phase aims at operating the
12 detector throughout LHC Run 3 to collect a total of 150 fb^{-1} .

8 13 Following the review of the Letter of Intent [1], submitted in August 2020, LHCC rec-
14 ommended the collaboration to proceed with the preparation of a Technical Proposal (TP),
15 reported herein.

lla Collaborazione SND@LHC (2)

- proposta di SND@LHC firmata da 35 istituti, 120 persone, 32% INFN, Bari, Bologna, Cagliari, LNGS, Napoli
 - in discussione nella riunione di CSN1 INFN di Febbraio
 - ricercatori di Bologna: 5 GrI, 2 GrII, 3 GrV
 - altri sono benvenuti!

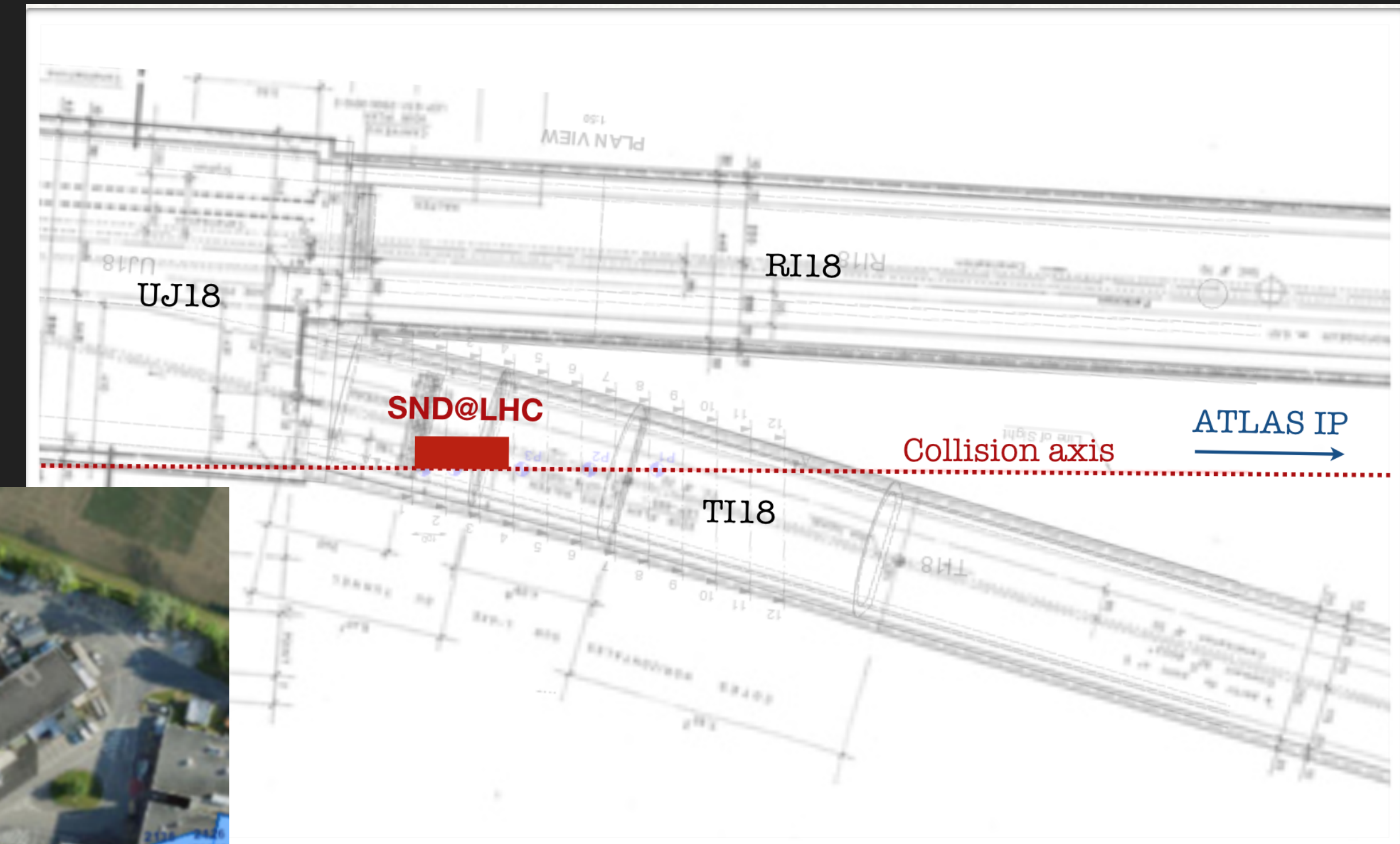
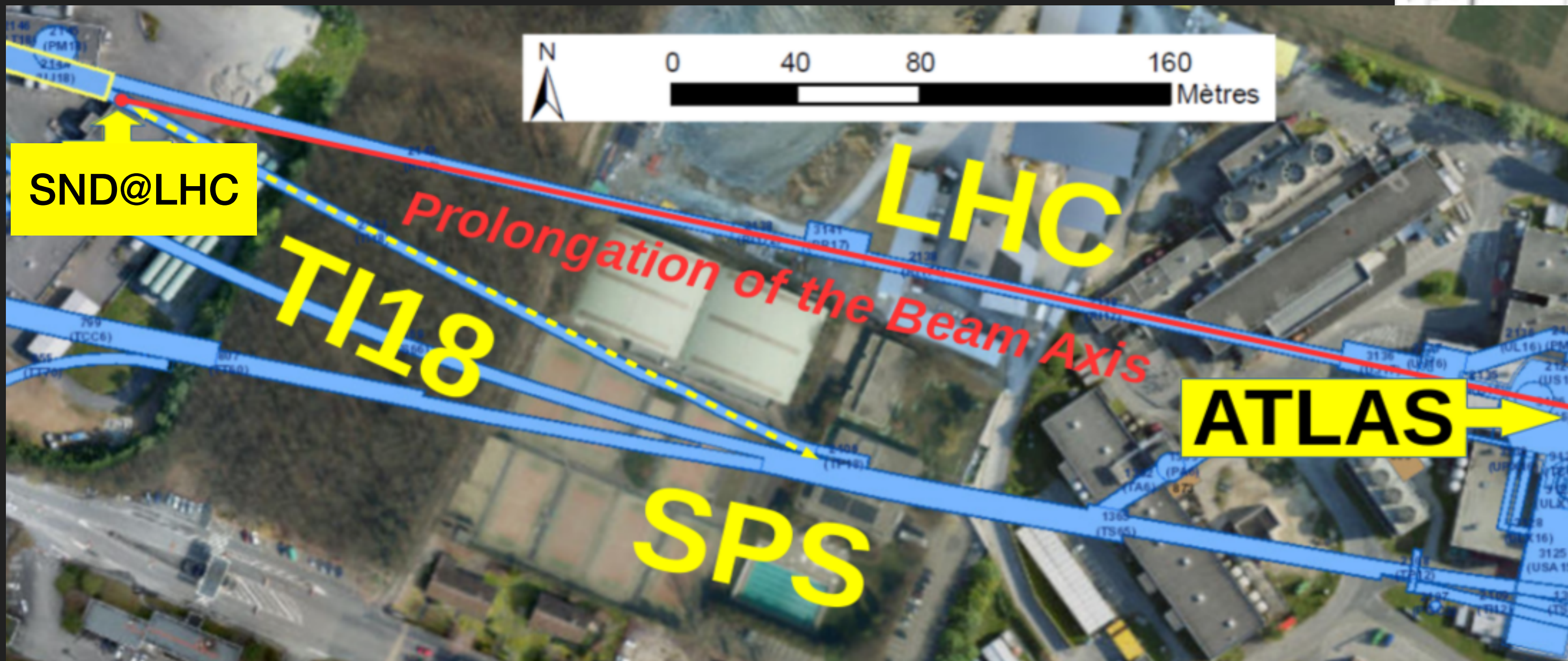
1

- C. Ahdida²⁴, R. Albanese^{9,c,g}, A. Alexandrov^{9,19,21,c}, M. Andreini²⁴, A. Anokhina²², A. Bay²⁵, P. Bestmann²⁴, C. Betancourt²⁶, I. Bezshyiko²⁶, A. Blanco³³, M. Bogomilov¹, K. Bondarenko^{24,25}, W.M. Bonivento⁸, P. Boisseaux-Bourgeois²⁴, A. Boyarsky^{18,d}, L.R. Buonocore²⁶, A. Buonaura²⁶, S. Buontempo⁹, V. Cafaro⁷, M. Callignon²⁴, T. Camporesi²⁴, M. Campanelli³⁰, V. Canale^{9,c}, F. Cerutti²⁴, N. Charitonidis²⁴, M. Chernyavskiy¹⁹, K.-Y. Choi¹⁷, S. Cholak²⁵, V. Cicero⁷, L. Congedo^{6,a}, O. Crespo²⁴, M. Cristinziani⁴, A. Crupano⁷, G.M. Dallavalle⁷, A. Datwyler²⁶, N. D'Ambrosio¹⁰, A. Dashkina²¹, J. De Carvalho Saraiva³³, P.T. De Bryas Dexmiers D'Archiac²⁵, G. De Lellis^{9,21,c}, M. de Magistris^{9,c}, A. De Roeck²⁴, A. De Rujula³¹, M. De Serio^{6,a}, D. De Simone²⁶, L. Dedenko²², A. Di Crescenzo^{9,c}, L. Di Giulio²⁴, A. Dolmatov²⁰, O. Durhan²⁷, D. Fasanella⁷, F. Fedotovs³⁰, M. Ferrillo²⁶, M. Ferro-Luzzi²⁴, R.A. Fini⁶, P. Fonte³³, R. Fresa^{9,c}, G. Galati^{9,c}, J. Gall²⁴, R. Garcia Alia²⁴, V. Gentile^{9,21,c}, V. Giordano⁷, A. Golovatiuk^{9,c}, A. Golutvin^{29,21}, P. Gorbounov²⁴, M. Gorshenkov²¹, E. Graverini²⁵, J.-L. Grenard²⁴, A.M. Guler²⁷, G.J. Haefeli²⁵, E. van Herwijnen²¹, G. Iaselli^{6,a}, P. Iengo^{9,24}, S. Ilieva¹, A. Infantino²⁴, A. Iuliano^{9,c}, R. Jacobsson²⁴, M. Jonker²⁴, C. Kamiscioglu^{27,f}, Y. Karyotakis³², E. Khalikov²², Y.G. Kim¹⁴, S.H. Kim¹⁴, D.I. Kolev¹, M. Komatsu¹¹, N. Konovalova^{19,21}, S. Kovalenko³⁴, I. Krashnikova²¹, S. Kuleshov³⁴, H.M. Lacker¹, O. Lantwin^{26,21}, A. Lauria^{9,c}, K.S. Lee¹⁶, K.Y. Lee¹³, N. Leonardo³³, G. Lerner²⁴, S. Lo Meo^{7,b}, V.P. Loschiavo^{9,g}, L. Lopes³³, A. Magnan²⁹, M. Maietta²⁴, A. Malinin²⁰, Y. Maurer²⁴, A.K. Managadze²², S. Marsh²⁴, A. Miano^{9,c}, A. Montanari⁷, M.C. Montesi^{9,c}, T. Naka¹², F.L. Navarria⁷, P. Ninin²⁴, S. Ogawa¹², N. Okateva^{19,21}, J. Osborne²⁴, N. Owtscharenko⁴, P.H. Owen²⁶, B.D. Park¹³, G. Passeggi⁹, A. Pastore⁶, M. Patel^{29,21}, L. Patrizii^{7,b}, A. Petrov²⁰, D. Podgrudkov²², G.L. Petkov¹, K. Petridis²⁸, N. Polukhina^{19,21,e}, D. Prelipcean²⁴, A. Prota^{9,c}, F. Queiroz³⁵, A. Quercia^{9,c}, F. Ratnikov²³, F. Redi²⁵, A.B. Rodrigues Cavalcante²⁵, J. Rodrigues Fernandez²⁴, T. Roganova²², T. Rovelli^{7,b}, O. Ruchayskiy², T. Ruf²⁴, M. Sabate Gilarte²⁴, F. Sanchez Galan²⁴, P. Santos Diaz²⁴, O. Schneider²⁵, G. Sekhniaidze⁹, N. Serra^{26,21}, M. Shaposhnikov²⁵, T. Shchedrina^{19,21}, L. Shchutska²⁵, V. Shevchenko^{20,21}, H. Shibuya¹², S. Shirobokov²⁹, E. Shmanin²¹, S. Simone^{6,a}, G. Sirri^{7,b}, G. Soares³³, J.Y. Sohn¹³, M. Souaya²⁴, N. Starkov^{19,21}, J.L. Tastet², I. Timiryasov²⁵, V. Tioukov⁹, N. Tosi^{7,b}, C. Trippi²⁵, F. Tramontano^{9,c}, R. Tsenev¹, E. Ursov²², A. Ustyuzhanin^{23,21}, G. Vankova-Kirilova¹, C. Vendeuvre²⁴, C. Visone^{9,c}, R. Wanke⁵, J.-K. Woo¹⁵, C.S. Yoon¹³, J. Zamora-Saa³⁴, E. Zaffaroni²⁵

¹ Faculty of Physics, Sofia University, Sofia, Bulgaria
² Niels Bohr Institute, University of Copenhagen, Copenhagen, Denmark
³ Humboldt-Universität zu Berlin, Berlin, Germany
⁴ Department Physik, Universität Siegen, Siegen, Germany
⁵ Institut für Physik and PRISMA Cluster of Excellence, Johannes Gutenberg Universität Mainz, Mainz, Germany
⁶ Sezione INFN di Bari, Bari, Italy
⁷ Sezione INFN di Bologna, Bologna, Italy
⁸ Sezione INFN di Cagliari, Cagliari, Italy
⁹ Sezione INFN di Napoli, Napoli, Italy
¹⁰ Laboratori Nazionali dell'INFN di Gran Sasso, L'Aquila, Italy
¹¹ Nagoya University, Nagoya, Japan
¹² Toho University, Funabashi, Chiba, Japan
¹³ Physics Education Department & RINS, Gyeongsang National University, Jinju, Korea
¹⁴ Gwangju National University of Education, Gwangju, Korea
¹⁵ Jeju National University, Jeju, Korea
¹⁶ Korea University, Seoul, Korea
¹⁷ Sungkyunkwan University, Suwon-si, Gyeong Gi-do, Korea
¹⁸ University of Leiden, Leiden, The Netherlands
¹⁹ P.N. Lebedev Physical Institute (LPI RAS), Moscow, Russia
²⁰ National Research Centre 'Kurchatov Institute', Moscow, Russia
²¹ National University of Science and Technology 'MISiS', Moscow, Russia
²² Skobeltsyn Institute of Nuclear Physics of Moscow State University (SINP MSU), Moscow, Russia
²³ National Research University Higher School of Economics, Moscow, Russia
²⁴ European Organization for Nuclear Research (CERN), Geneva, Switzerland
²⁵ École Polytechnique Fédérale de Lausanne (EPFL), Lausanne, Switzerland
²⁶ Physik-Institut, Universität Zürich, Zürich, Switzerland
²⁷ Middle East Technical University (METU), Ankara, Turkey
²⁸ H.H. Wills Physics Laboratory, University of Bristol, Bristol, United Kingdom
²⁹ Imperial College London, London, United Kingdom
³⁰ University College London, London, United Kingdom
³¹ Inst. de Estructura de la Materia, Consejo Superior de Investigaciones Científicas (CSIC), Madrid, Spain
³² Laboratoire d'Annecy-le-Vieux de Physique des Particules (LAPP), Annecy-le-Vieux, France
³³ Laboratory of Instrumentation and Experimental Particle Physics (LIP), Lisbon, Portugal
³⁴ Universidad Andres Bello, Department of Physics, Santiago, Chile
³⁵ International Institute of Physics at the Federal University of Rio Grande do Norte, Rio Grande do Norte, Brazil
^a Università di Bari, Bari, Italy
^b Università di Bologna, Bologna, Italy
^c Università di Napoli "Federico II", Napoli, Italy
^d Taras Shevchenko National University of Kyiv, Kyiv, Ukraine
^e National Research Nuclear University (MEPhI), Moscow, Russia
^f Ankara University, Ankara, Turkey
^g Consorzio CREATE, Napoli, Italy

collocazione del rivelatore

- nel tunnel TI18, 480m da ATLAS
- particelle da IP incontrano 100 m di roccia; quelle cariche deviate dai magneti di LHC



il rivelatore di SND@LHC (1)

- Angular acceptance: $7.2 < \eta < 8.6$
- Target material: Tungsten
- Target mass: 830 kg
- Surface: $390 \times 390 \text{ mm}^2$

Estimated cost 1.7 MCHF

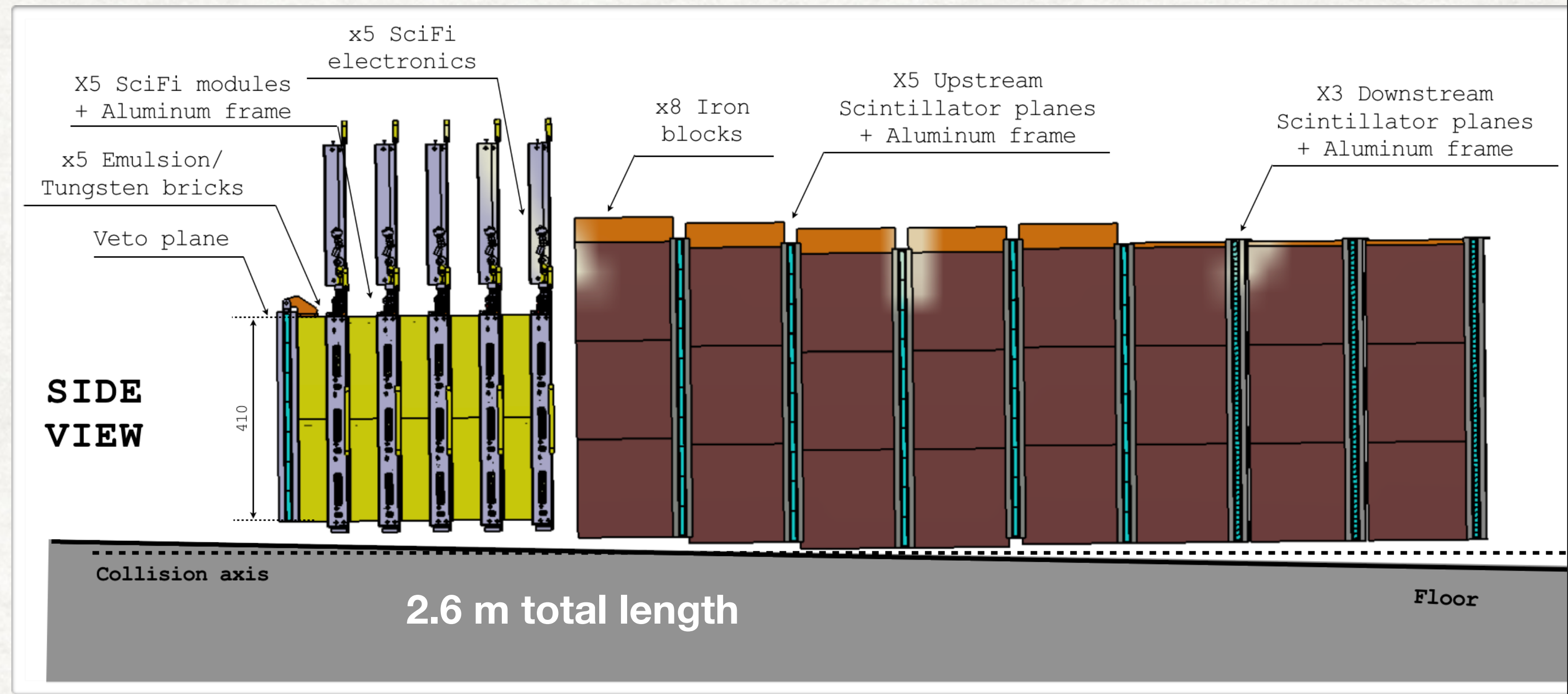
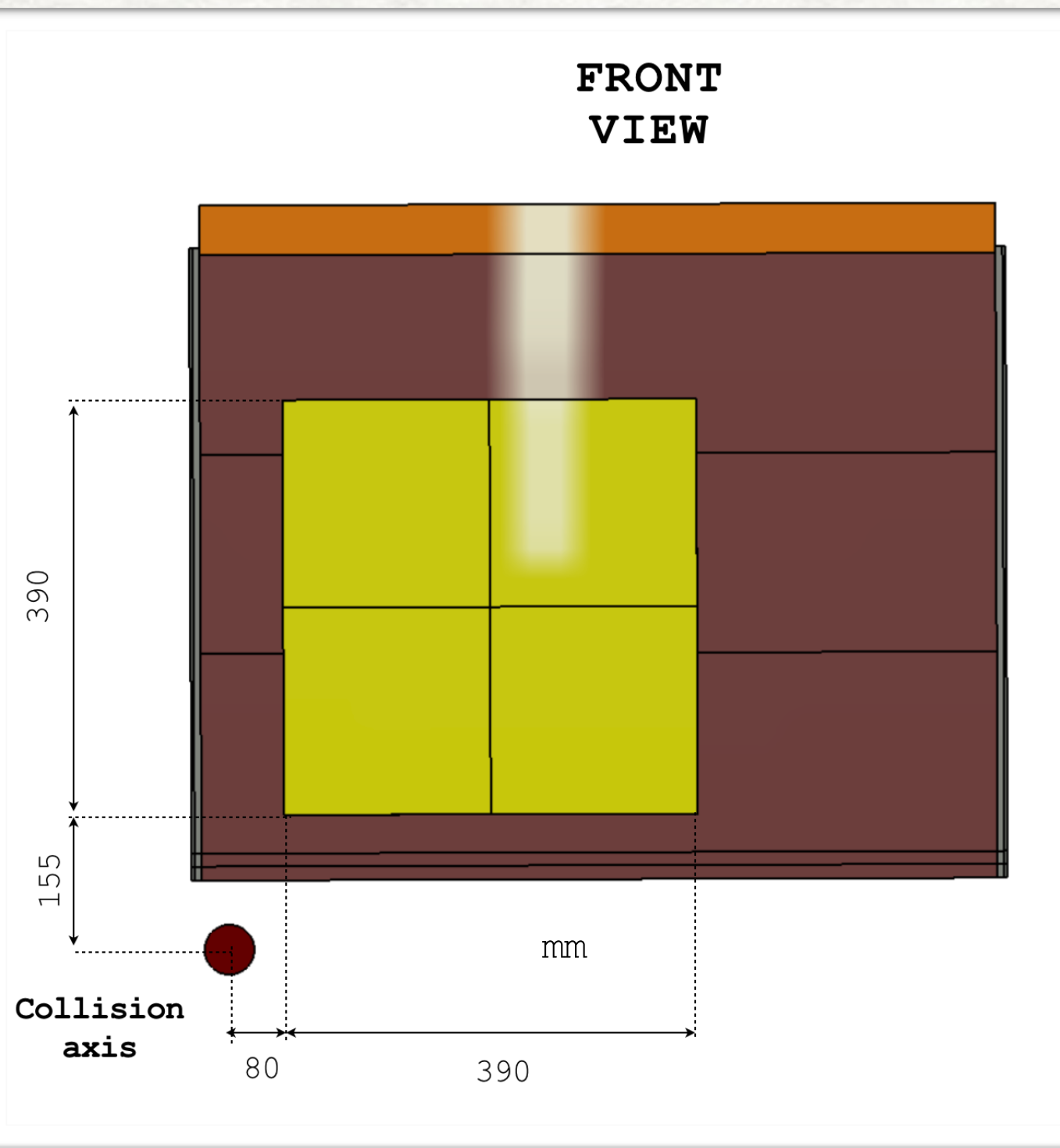
44 m² di emulsioni da sostituire 2-3 volte l'anno

5 stazioni di scan operative in SND@LHC a tempo pieno

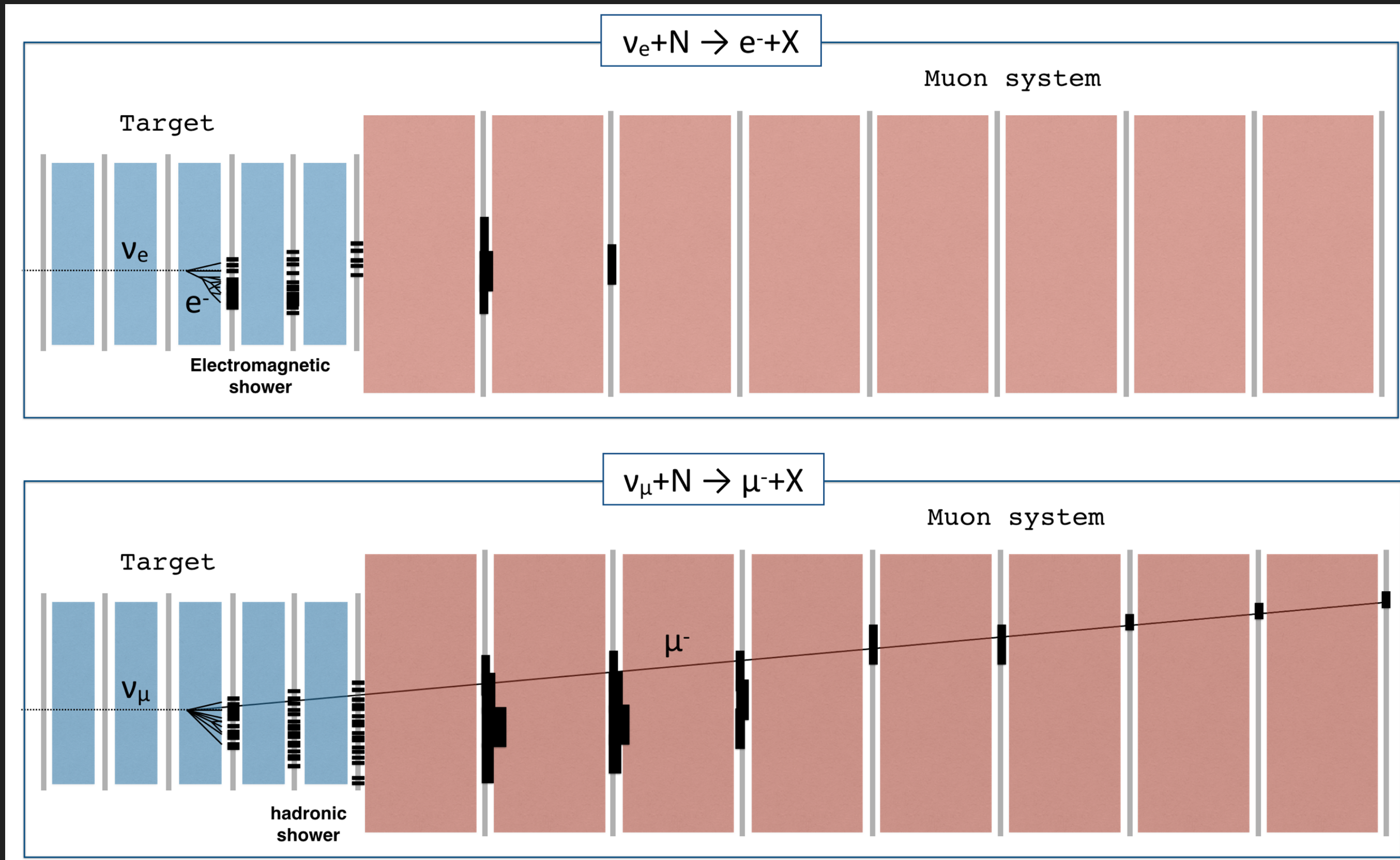
Off axis location

Electromagnetic calorimeter
 $\sim 40 X_0$

Hadronic calorimeter
 $\sim 9.5 \lambda$



il rivelatore di SND@LHC (2)



a Bologna, interessamento per

- tre stazioni finali del rivelatore di muoni: barre sottili di scintillatori lette da SiPMs; partecipazione a detector design, elettronica e meccanica
- scan delle emulsioni al microscopio (esperienza di OPERA, upgrade del microscopio)
- analisi degli eventi

Pianificazione, aspettative e note finali

preparare area, installare servizi

installazione e collaudo

Flavour	Neutrinos in acceptance		CC neutrino interactions		NC neutrino interactions	
	$\langle E \rangle$ [GeV]	Yield	$\langle E \rangle$ [GeV]	Yield	$\langle E \rangle$ [GeV]	Yield
ν_μ	145	2.1×10^{12}	450	730	480	220
$\bar{\nu}_\mu$	145	1.8×10^{12}	485	290	480	110
ν_e	395	2.6×10^{11}	760	235	720	70
$\bar{\nu}_e$	405	2.8×10^{11}	680	120	720	44
ν_τ	415	1.5×10^{10}	740	14	740	4
$\bar{\nu}_\tau$	380	1.7×10^{10}	740	6	740	2
TOT		4.5×10^{12}		1395		450

Table 15: Number of neutrinos in the SND@LHC acceptance, charged-current and neutral-current neutrino interactions in the detector target, assuming 150 fb^{-1} . Average energies are also reported.

note finali:

- a HL-LHC statistica $\times 50$, ma serve tracker alternativo alle emulsioni
 - altre possibilità di fisica: FIPs (particelle con interazione “fleibile”, quasi impercettibile, che collidono con nucleoni o con elettroni)